

九州大学工学部 正員 後藤惠輔

1. 序言

本論では、キャステレーテッド・ビーム (Fig. 1) の製作上にさりげなく考慮される 1) 手張比 α 、2) 形状比 $\beta = b/a$ 、3) 頂斜角、肉厚 h および 4) 孔端肉脚の丸味 $\kappa = r_0/2a$ のうち、1) および 2) について、二次元弾性論的見地より考察するものである (Fig. 2 参照)。荷重条件は純曲げとし、フランジの影響を無視するものとする。

2. 解法の概説

解法は 1 構造単位を対象とすればよく、このとき孔の外部領域を単位円外に等角写像する関数は、文献 1) の手法により次式のことく求められる。

$$z = w(s) = R(s + a_1 s^{-1} + a_3 s^{-3} + \dots + a_{11} s^{-11}) \quad (1)$$

ここに、 $z = x + iy$ 、 $s = p \cdot \exp(i\beta)$ 、 a_1, a_3, \dots は $p = 1$ のとき式(1)が孔縁を表わすことと決してさへも実数係数で、 R は孔の大きさをえた定数である。

孔径比を $\mu = \alpha/h$ で定義すれば、 μ と手張比 α との関係は次式で与えられる。

$$\alpha = 2/(2 - \mu)$$

応力関数を次式のごとく仮定する。

$$\left. \begin{aligned} \psi(s) &= \sum_{k=0}^K b_k' s^k + \sum_{k=0}^M b_k'' s^{-k} \\ \psi_l(s) &= \sum_{k=0}^K C_k' s^k + \psi_l(s) \end{aligned} \right\} \quad (2)$$

式(2)中の係数 b_k' 、 b_k'' および C_k' と関数 $\psi_l(s)$ のうち、 b_k'' と $\psi_l(s)$ とは応力自由孔縁条件式より B_k'' 、 C_k'' の関数として求められる。したがって、未知数は B_k' と C_k' のみで、これらは外縁および隣接構造単位との接合部における境界条件より逆点法を用いて決定される。後者、境界条件については、1) $\sigma_x = -M/I \cdot y$ 、 $\tau_{xy} = 0$ の応力型 (I : solid section におけるばかりの断面 2 次モーメント) と 2) $u_x = -y/h \cdot u_0$ 、 $\tau_{xy} = 0$ の混合型 (u_0 : 基準変位) の 2 種が考えられる。ここで 1) の応力型境界条件を用いた。

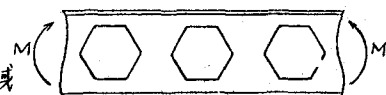


Fig.1 Castellated beam

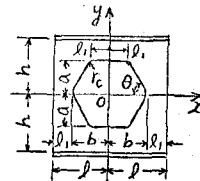


Fig.2 Structural unit

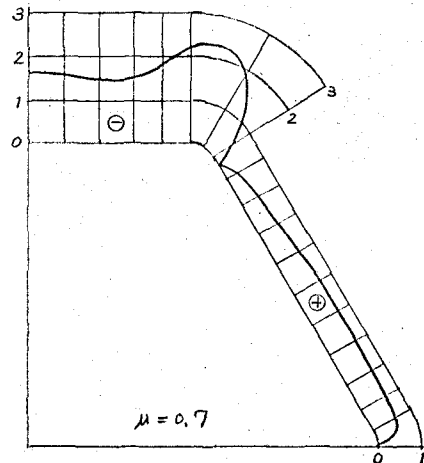
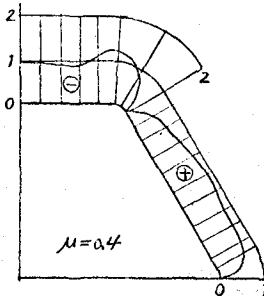


Fig.3 Stress distribution around a regular hexagonal hole

3. 計算例および考察

3.1 拡張比について

正六角形孔^(r=0.05)をもつキャステレーテッド・ビームの孔縁応力を孔径比が $\mu = 0.4 \sim 0.7$ (拡張比 $\alpha = 1.25 \sim 1.54$) の範囲で求め、その分布例を Fig. 3 に示す。応力集中は隅角部の平行凹寄りの位置に生ずるところが認められる。また、Fig. 4 は応力集中係数 (S.C.F.) と孔径比との関係を示すもので、実線が最大孔縁応力に関するものである。一点鎖線は平行凹の中点における応力比、破線は傾斜凹の最大応力比である。傾斜凹の応力は μ の値のいかんにかかわらず常に小さく、隅角部の応力集中は $\mu > 0.65$ ($\alpha > 1.48$) に対してかなり増大する傾向にある。このことから曲げが卓越するキャステレーテッド・ビームには拡張比が $\alpha \leq 1.5$ のものが適していると言える。

3.2 形状比について

$\theta = 60^\circ$, $\mu = 0.6$, $\gamma = 0.05$ として形状比が $\delta = 0.8 \sim 1.4$ の範囲で孔縁応力を計算した。Fig. 5 は孔縁応力の分布例であり、Fig. 6 は応力集中係数と形状比との関係を示すものである。隅角部の応力集中はよく 1.0 のとき著しく増大するゆえ、曲げに対する形状比を $\delta \geq 1.0$ とするのが望ましい。因みに正六角形孔では $\delta = 1.155$ である。

以上の考察は、計算が簡単なようフランジを無視し接合部の条件を应力型としていることから、今後検討の余地があることを付記する。

参考文献

- 1) Gotoh, K. : Proc. 26th Japan Nat. Congr. Appl. Mech., 1971 に投稿中。

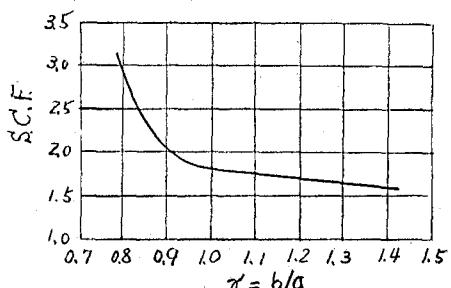


Fig. 6 Relation between stress concentration factor and aspect ratios

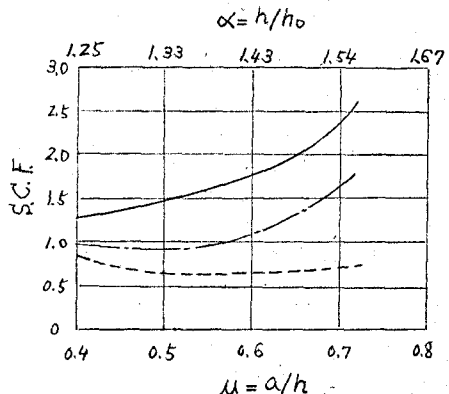


Fig. 4 Relation between stress concentration factor and the dimension of a hole

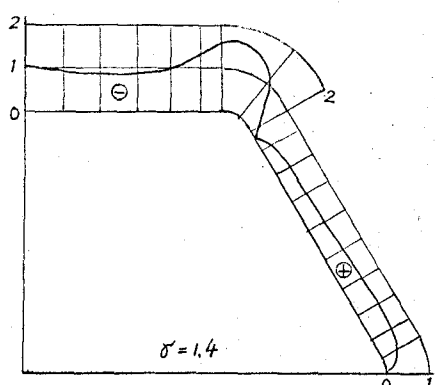
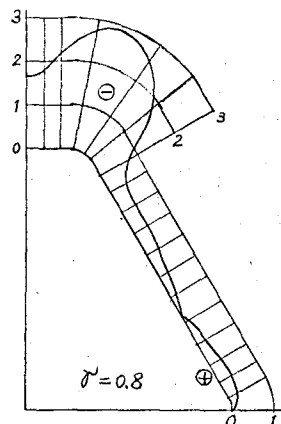


Fig. 5 Stress distribution around a hexagonal hole with various aspect ratios